

# Algoritmo genético para o Problema de Dimensionamento de Lotes Multi-item Capacitado

André Homem Dornas\*,  
Raíssa Cristina Corrêa Dutra,  
Vitor Lemos Silveira,  
Rogério Martins Gomes, and  
Joao Fernando Machry Sarubbi

Centro Federal de Educação Tecnológica de Minas Gerais  
andrehdornas@gmail.com, raissadutra@hotmail.com,  
vitorlsilveira10@gmail.com, rogerio@lsi.cefetmg.br,  
joaosarubbi@gmail.com

**Resumo** O presente artigo trata sobre o Problema de Dimensionamento de Lotes Monoestágio Multi-item Capacitado, que consiste em determinar a quantidade de itens a serem produzidos em diferentes períodos de tempo a fim de minimizar o custo total de produção, considerando a demanda relativa ao item e a capacidade produtiva do período. O problema foi resolvido através de duas abordagens: um algoritmo genético e um resolvedor CPLEX. Foram realizados experimentos computacionais comparando os resultados obtidos pelo software de otimização e pelo algoritmo genético desenvolvido a partir de instâncias geradas aleatoriamente. Os resultados obtidos mostraram que o algoritmo genético, apesar de não encontrar a melhor solução para o problema na maior parte dos casos, apresentou uma resposta em um tempo substancialmente menor que a do CPLEX. Outra contribuição importante se refere a representação da solução utilizada, que define uma ordem de produção para cada período.

**Keywords:** Pesquisa Operacional. Dimensionamento de Lotes. algoritmo genético.

## 1 Introdução

Ao longo dos anos a indústria manufatureira tenta ampliar seus lucros cada vez mais, e uma forma de alcançar esse objetivo é melhorar a eficiência dos seus processos de produção, diminuindo os custos gerados devido a ineficiência operacional. Deste modo, o Planejamento e Controle de Produção [8] (PCP) se tornou um campo de estudo de bastante interesse para as organizações produtivas, uma

---

\* Os autores gostariam de agradecer ao CEFET-MG e as agências de fomento CAPES, CNPq e FAPEMIG.

vez que o PCP busca determinar o melhor período de produção, bem como a quantidade ótima de itens a ser produzida que minimize o custo total de produção. A partir desse contexto o Problema de Dimensionamento de Lotes (PDL) surgiu para auxiliar o PCP.

O Problema de Dimensionamento de Lotes pode ser visto como o planejamento da produção de uma certa quantidade de itens em um determinado intervalo de tempo com o objetivo de atender a uma certa demanda. Além disso, o PDL pode estar sujeito a algumas restrições, como por exemplo, limitações de capacidade de produção, dependência de processamento prévio (*setup*) ou demandas de outros produtos, bem como geração de estoque desnecessário [4].

O problema em questão pode ser classificado de acordo com os itens produzidos e os estágios, capacidade, horizonte e demanda de produção. Um PDL que trata da produção de apenas um tipo de item é chamado de Único-item, enquanto que o Multi-item trata da produção de diversos tipos de produtos. O PDL multiestágio trata de demandas que dependem de demandas anteriores, ou seja, produtos que necessitam de produtos ou processamentos prévios, e no PDL monoestágio os produtos são independentes uns dos outros [4].

A limitação de mão de obra, matéria-prima e capacidade produtiva de maquinário determina se o PDL será classificado como capacitado ou não. Caso haja alguma limitação, o PDL é capacitado, e caso contrário, é não-capacitado [4].

O horizonte do PDL significa o intervalo de tempo utilizado na produção, que pode ser Finito ou Infinito. Com relação a demanda de produção, o PDL pode ser considerado Estático, isto é, possui demanda definida; Dinâmico, ou seja, a demanda varia com relação ao período; Estocástico, quando o valor da demanda não é necessariamente conhecido, e, caso contrário, Determinístico, isto é, sabe-se ao certo qual o valor da demanda [4].

Este artigo trata da análise do Problema de Dimensionamento de Lotes Capacitado Multi-produto com horizonte finito e demanda dinâmica e determinística, ou seja, será implementada uma solução para a otimização da produção de lotes de diversos tipos de itens, considerando que este processo possui limitações, intervalo de tempo de produção finito e que os valores das demandas de cada produto em cada período são conhecidas e podem variar.

Para solucionar o problema de dimensionamento de lotes foi utilizada uma heurística baseada em algoritmo genético [5], por tratar-se de uma técnica muito utilizada para encontrar soluções satisfatórias em problemas de busca e otimização. Os resultados obtidos utilizando algoritmo genético serão comparados com os valores obtidos utilizando o CPLEX [6].

O presente artigo está dividido da seguinte forma: a Seção 2 apresenta os trabalhos relacionados sobre o assunto abordado; a Seção 3 apresenta a definição e a modelagem matemática do Problema de Dimensionamento de Lotes tratado neste artigo; a Seção 4 detalha a implementação do algoritmo genético desenvolvido; a Seção 5 apresenta os resultados obtidos neste trabalho e a Seção 6 conclui o trabalho.

## 2 Trabalhos Relacionados

Existem diversos modelos matemáticos que tratam o problema de dimensionamento de lotes. Um dos modelos mais conceituados foi proposto por Trigeiro et al. [10], no qual os autores levaram em consideração o tempo de preparação, produção e estocagem, balanceamento de estoque e minimização do custo. Além disso, este modelo leva também em consideração uma restrição de capacidade, ou seja, a quantidade de itens que podem ser produzidos num dado período é limitada. Trigeiro et al. [10] também foram pioneiros ao apresentarem uma heurística capaz de resolver o tempo de *setup*, bem como de mostrar que a inserção dessa limitação pode gerar soluções infactíveis.

Rocha Junior [9] propôs uma aplicação do modelo matemático para o problema de dimensionamento de lotes multi-item multiestágio e com demanda dinâmica determinística para uma indústria de móveis. O modelo foi testado utilizando dados reais de uma empresa do setor moveleiro de Arapongas, Paraná. Os resultados mostraram que o modelo matemático proposto obteve um desempenho superior à metodologia de produção usada na empresa, demonstrando sua aplicabilidade.

Haase e Kohlmorgen [3] propuseram um algoritmo genético para resolver um problema de dimensionamento de lotes com restrição de capacidade. Os autores introduziram a ideia de começar a definir a quantidade de cada item produzido partindo do último período, de forma determinística. Esse algoritmo utiliza conceitos de **demanda acumulada** e **capacidade disponível** que são responsáveis, respectivamente, por transferir a demanda não produzida para períodos anteriores (gerando estoque) e pelo gerenciamento da capacidade de cada período.

Karimi et al. [7] estudaram a fundo o problema de dimensionamento de lotes, além de abordarem as principais características e variações do problema, propondo estratégias de soluções. Goren et al. [2], além de mostrarem características e algumas variações do PDL, fazem uma breve revisão de outros trabalhos sobre esse problema que foram resolvidos utilizando Algoritmos Genéticos.

## 3 Definição do problema

Dado um conjunto  $N$  de itens e um conjunto  $T$  de períodos, o Problema de Dimensionamento de Lotes (PDL) consiste em definir a quantidade de cada item  $i \in N$  a ser produzido em cada período  $t \in T$ . A variação do PDL abordada no presente artigo consiste no Problema de Dimensionamento de Lotes Capacitado (PDLC), no qual é levado em consideração a capacidade de produção  $CAP_t$  em cada período  $t$ . A produção de um item  $i$  requer  $b_i > 0$  unidades de capacidade e custa  $c_{it}$  por unidade. A demanda no item  $i$  no período  $t$  é dada por  $d_{it} > 0$ , que deve ser satisfeita sem atraso. Além disso, a produção do item  $i$  no período  $t$  requer a ativação (*setup*) da máquina, que possui um custo  $S_{it}$  e um  $s_i > 0$  unidades de capacidade. O custo de estocagem do item  $i$  em  $t$  é dado por  $H_{it}$ . Dessa forma, o objetivo do PDLC é reduzir o custo total de produção [9].

$$\min \sum_{i \in N} \sum_{t \in T} (H_{it}I_{it} + c_{it}X_{it} + S_{it}Y_{it}) \quad (1a)$$

s.t.

$$I_{i,t-1} + X_{it} - I_{it} = d_{it}, \quad i \in N; t \in T, \quad (1b)$$

$$\sum_{i \in N} (b_i X_{it} + s_i Y_{it}) \leq CAP_t, \quad t \in T, \quad (1c)$$

$$X_{it} - MY_{it} \leq 0, \quad i \in N; t \in T, \quad (1d)$$

$$I_{i0} = 0, \quad i \in N, \quad (1e)$$

$$X_{it}, I_{it} \in R_+, \quad i \in N; t \in T, \quad (1f)$$

$$Y_{it} \in \{0, 1\}, \quad i \in N; t \in T \quad (1g)$$

**Figura 1.** Modelo do PDLC [10]

O Modelo mostrado na Figura 1, baseado no modelo de otimização do PDLC proposto por Trigeiro et al. [10], propõe a minimização dos custos de produção, a partir da função objetivo 1a. As variáveis de decisão utilizadas são:  $X_{it}$ , que representa a quantidade do item  $i$  produzida no período  $t$ ;  $Y_{it}$ , que indica se há produção do item  $i$  no período  $t$ ; e  $I_{it}$ , que indica a restrição de estoque do item  $i$  no período  $t$ . As restrições 1b estão relacionadas ao balanço de estoque, enquanto que a restrição 1e define que o estoque inicial é igual a zero. As restrições 1c definem o limite de capacidade de produção em cada período de tempo. A restrição 1d, na qual  $M$  representa um número muito grande, limita que a preparação (tempo e custo) só seja considerada caso haja produção. As restrições 1f e 1g definem a não negatividade e integralidade das variáveis.

*Resolução do PDLC a partir do modelo.* O PDLC será resolvido, inicialmente, utilizando o software de otimização CPLEX. O CPLEX [6] é um software de otimização desenvolvido pela IBM que pode ser utilizado para resolução de problemas de programação linear complexos, tendo o objetivo de encontrar a solução ótima para o problema.

Para a utilização do CPLEX, cada instância gerada foi transformada em um arquivo LP. Este formato de arquivo é legível ao CPLEX e representa um programa linear, contendo a definição do problema (restrições e função objetivo) obtidas a partir do modelo 1. Da mesma forma, o PDLC será resolvido utilizando uma heurística computacional, o algoritmo genético, que será descrita a seguir.

## 4 Algoritmo genético

A heurística escolhida para resolver o problema proposto foi o Algoritmo Genético (AG), ilustrado pelo Algoritmo 1. Para o presente artigo, o algoritmo tem sua execução interrompida quando a melhor solução encontrada se mantém

inalterada por 100 iterações. De forma a ajudar na convergência do AG, foi utilizado o elitismo, ou seja, a melhor solução de uma geração é mantida na próxima geração sem sofrer alteração.

---

**Algoritmo 1: Algoritmo\_Genético**


---

```

Data:  $txCruz, txMut, qntMut, T$ 
 $populacao \leftarrow GeraPopulacaoInicial();$ 
Avaliar( $populacao$ );
 $t \leftarrow 0$ ;
while critério não atingido do
     $elite \leftarrow Retira\_Melhor(populacao)/*\ armazenar o melhor indivíduo */$ 
     $pai1, pai2 \leftarrow Selecao(populacao);$ 
     $populacao \leftarrow populacao + Cruzamento(pai1, pai2, txCruz);$ 
    Mutacao( $populacao, T, txMut, qntMut$ );
     $populacao \leftarrow populacao + elite/*\ retorna o melhor indivíduo */$ 
    Avaliar( $populacao$ );
     $t \leftarrow t + 1$ ;
end

```

---

#### 4.1 Codificação

Um indivíduo, ou cromossomo, equivale a uma solução do PDLC. Dessa forma, cada indivíduo é representado por uma matriz  $N \times T$ , onde cada coluna contém uma ordem de produção para o período  $t$ . Essa escolha foi definida uma vez que a capacidade de produção de cada período e a necessidade da preparação para produção limitam a quantidade de cada item a ser produzido, dessa forma, foi necessário definir uma preferência de produção.

#### 4.2 Decodificação

O método utilizado para desenvolvimento do Algoritmo 2, responsável por decodificar os cromossomos, foi baseado no método proposto por Haase e Kohlmorgen [3], no qual o preenchimento da matriz de produção é feito a partir do último período. O autor utiliza de dois conceitos importantes, os quais foram utilizados neste trabalho, quais sejam: **Capacidade Disponível**, que verifica quanto ainda é possível produzir no período corrente; e **Demanda Acumulada**, que é uma matriz que controla a quantidade de itens que não foi possível produzir em um período com o propósito de definir a quantidade que deveria ter sido produzida no período anterior.

#### 4.3 Avaliação da população

Para avaliar a população foi considerado que a função de aptidão é inversamente proporcional ao resultado da função objetivo, ou seja, quando o valor encontrado

**Algoritmo 2:** Definição da produção

---

```

Data: ordens, d, b, s, CAP
dac ← d; /* ajusta a demanda acumulada */
ACAP ← CAP; /* ajusta a capacidade disponível de cada período */
t ← T;
/* preenche a partir do último período */
while  $t \geq 1$  do
  ordem ← ordens[t]; /* ordem de produção do período */
  foreach  $i$  in ordem do
    /* tenta produzir toda a demanda */
    if  $b_i * dac_{it} + s_i \leq ACAP_t$  then
      |  $X_{it} \leftarrow dac_{it}$ ;
    else
      | /* produz o máximo possível */
      |  $max \leftarrow \text{floor}((ACAP_t - s_i)/b_i)$ ;
      | if  $max < 0$  then  $max \leftarrow 0$ ;
      |  $X_{it} \leftarrow max$ ;
    end
    if  $X_{it} > 0$  then  $Y_{it} \leftarrow 1$ ;
    /* atualiza dados */
     $dac_{i,t-1} \leftarrow dac_{i,t-1} + dac_{it} - X_{it}$ ;
     $dac_{it} \leftarrow 0$ ;
     $ACAP_t \leftarrow b_i * X_{it} + s_i * Y_{it}$ ;
    /* balanceamento de estoque */
     $I_{it} = I_{i,t+1} - X_{i,t+1} + d_{i,t+1}$ ;
     $t \leftarrow t - 1$ ;
  end
end

```

---

na função objetivo for muito alto, a aptidão do indivíduo será pequena. Isto significa que este indivíduo não produzirá uma boa solução para o problema, uma vez que o objetivo é minimizar o custo total do planejamento de produção e estocagem de itens.

#### 4.4 Operadores

Como foi desenvolvida uma nova solução para o problema, foi necessário criar operadores de seleção, cruzamento e mutação próprios. Esses operadores foram baseados em outros já existentes e são apresentados a seguir.

**Seleção** O algoritmo de seleção tem como objetivo selecionar dois indivíduos da população para sofrer cruzamento e gerar dois outros indivíduos que serão inseridos na população. O algoritmo em questão foi baseado no Torneio, um algoritmo de seleção bastante conhecido e utilizado.

O algoritmo de torneio implementado (Algoritmo 3) realiza quatro duelos entre dois indivíduos, escolhidos aleatoriamente. O indivíduo que possui a maior

aptidão vence o duelo e é inserido em uma subpopulação de vencedores. Posteriormente, os 2 indivíduos da subpopulação com maior aptidão são escolhidos como os vencedores do torneio, passando para a próxima etapa do algoritmo genético, o cruzamento.

---

**Algoritmo 3:** Seleção
 

---

```

Data: populacao
torneio  $\leftarrow \emptyset$ ;
for  $i \leftarrow 0$  to 4 do
   $c1 \leftarrow \text{SelecionaRand}(\text{populacao});$ 
   $c2 \leftarrow \text{SelecionaRand}(\text{populacao});$ 
  /* Armazena o melhor entre  $c1$  e  $c2$  */
   $\text{torneio} \leftarrow \text{torneio} + \text{Melhor}(c1, c2);$ 
end
/* retorna os dois melhores indivíduos entre os quatro */
return Melhores(torneio)

```

---

**Cruzamento** O algoritmo de cruzamento tem como finalidade gerar um ou dois indivíduos a partir das características de dois outros indivíduos selecionados anteriormente. A taxa de cruzamento utilizada neste trabalho foi de  $txCruz = 0.75$ .

O algoritmo implementado foi baseado no operador *Ordered Crossover* (OX), proposto por Davis [1]. Como a Figura 2 apresenta, o operador OX produz dois indivíduos filhos utilizando uma subsequência dos indivíduos pais. Neste exemplo, o Filho 1 recebe a subsequência do Pai 2 enquanto o Filho 2 recebe a subsequência do Pai 1. Após receber a subsequência, as outras posições dos vetores filhos são preenchidas com relação aos seus respectivos pais. Caso um elemento do pai já estiver no vetor do filho, o próximo elemento do vetor pai será considerado, respeitando a ordem em que aparece no indivíduo.

Um detalhe interessante dessa implementação é que como o indivíduo é composto por um vetor de períodos, que possui uma sequência de itens a ser produzida, o cruzamento entre os indivíduos pais ocorre período a período, ou seja, o primeiro período do primeiro indivíduo pai é cruzado com o primeiro período do segundo indivíduo, e assim por diante. Esse processo é ilustrado pelo Algoritmo 4.

**Mutação** No algoritmo genético, a Mutação tem por finalidade manter a diversidade da população gerando perturbações aleatórias nos indivíduos. A taxa de mutação utilizada neste trabalho foi de  $txMut = 0.025$ .

Assim como no Algoritmo de Cruzamento, a mutação em cada indivíduo ocorre período a período, sendo realizada somente em apenas  $qntMut = 10\%$  dos

5	1	3	2	4	6	8	0	9	7
0	1	2	3	4	5	6	7	8	9

(a) Pai 1

4	6	3	7	5	8	0	2	9	1
0	1	2	3	4	5	6	7	8	9

(b) Pai 2

1	3	2	7	5	8	0	4	6	9
0	1	2	3	4	5	6	7	8	9

(c) Filho 1

3	7	5	2	4	6	8	0	9	1
0	1	2	3	4	5	6	7	8	9

(d) Filho 2

**Figura 2.** Exemplo do cruzamento OX (*Ordered Crossover*)

períodos, escolhidos aleatoriamente. Como ilustrado no Algoritmo 5, a mutação realiza apenas a troca da ordem de produção de dois itens do período.

## 5 Testes computacionais

Para a realização dos testes foram geradas instâncias de acordo com o que foi proposto por Trigeiro et al.[10], levando em consideração seus parâmetros para número de períodos, itens, intervalo de demanda, custo, etc. Foi definido um fator  $F$  na geração das instâncias que determina a relação da capacidade de produção com a demanda, ou seja, um fator igual a 1.0 representa uma capacidade de produção igual à demanda, enquanto que  $F$  igual a 0.9, representa uma folga de 10% na capacidade de produção. Desta forma, assim como ilustra a Tabela 1, foram geradas 32 instâncias para serem testadas.

Neste trabalho, foi utilizado a *API* do CPLEX para *Python* na versão 12.7.1 e o algoritmo genético foi implementado utilizando a linguagem *Python 2.7*. Os testes foram realizados em uma máquina com sistema operacional Ubuntu, 8GB de RAM e processador i7-7500U (2.70GHz x 2).

Neste trabalho o maior tempo de execução para o CPLEX foi de 30 min (1800 segundos), pois foi estipulado que este seria o tempo máximo de execução para que o CPLEX encontre a solução ótima para o problema. Quando esta solução não é encontrada no tempo estipulado, é gerado um *Gap* que representa o quanto faltou para que o CPLEX encontrasse a solução ótima. Este *Gap* está ilustrado na oitava coluna da Tabela 1, que também apresenta o *Gap* de Relaxamento Linear do CPLEX (*Gap* RL) e o *Gap* do algoritmo genético, que representa o quanto o resultado do AG se aproximou do melhor valor encontrado pelo CPLEX.

**Algoritmo 4:** Cruzamento

---

```

Data:  $pai1, pai2, txCruz$ 
if  $random(0, 1) \leq txCruz$  then
   $filho1 \leftarrow pai1$  ;
   $filho2 \leftarrow pai2$  ;
  for  $t \leftarrow 0$  to  $T$  do
     $o1 \leftarrow filho1.ordem[t]$ ;
     $o2 \leftarrow filho2.ordem[t]$ ;
    /* crossover para o período t */
    CruzamentoOX( $o1, o2$ );
  end
  return  $filho1, filho2$ 
end

```

---

**Algoritmo 5:** Mutação

---

```

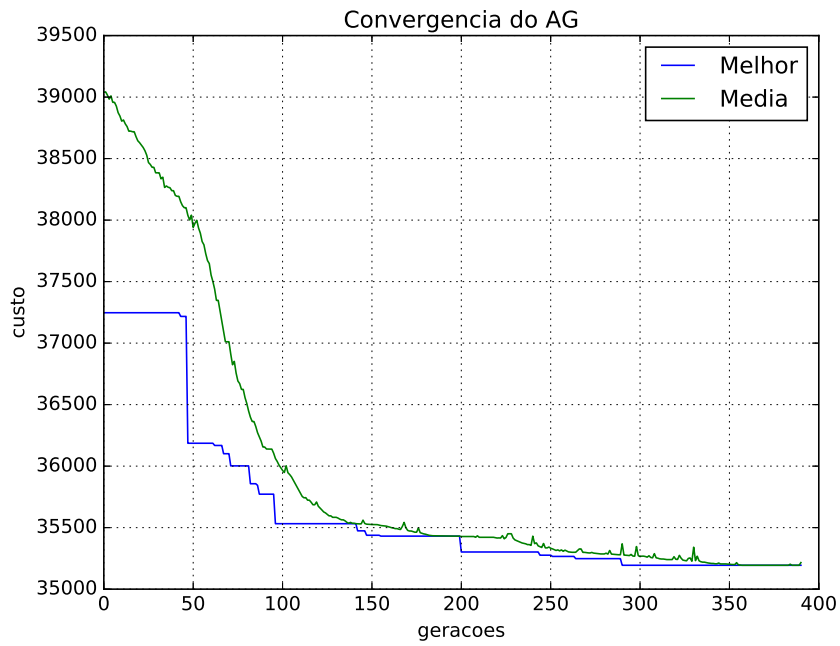
Data:  $populacao, T, txMut, qntMut$ 
foreach  $c \in populacao$  do
  /* checa a taxa de mutação */
  if  $random(0, 1) \leq txMut$  then
    /* define número de trocas */
     $q \leftarrow qntMut * T$ ;
    for  $i \leftarrow 0$  to  $q$  do
       $t \leftarrow random(0, T)$ ;
      /* troca dois itens de ordem */
      TrocaOrdem( $c, t$ );
    end
  end
end

```

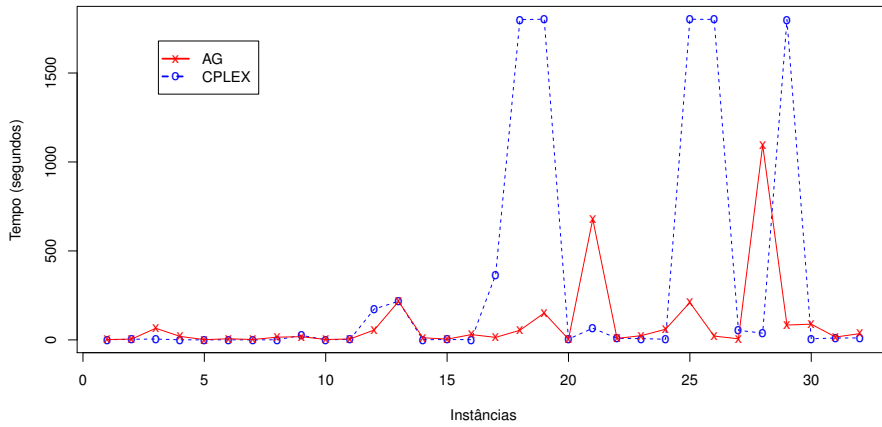
---

Para cada uma das instâncias geradas, o algoritmo genético foi executado 11 vezes e o resultado, apresentado na Tabela 1, foi obtido por meio da média dos resultados obtidos em cada execução. A convergência do algoritmo genético pode ser observada na Figura 3, utilizada como exemplo, para uma instância específica.

Como é possível observar na Tabela 1 e na Figura 4, quando comparado ao CPLEX, o tempo gasto pelo algoritmo genético para encontrar a solução do problema se aproxima do tempo gasto pelo CPLEX e, em alguns momentos, quando o CPLEX não conseguiu encontrar a solução ótima para o problema, o tempo gasto foi significativamente menor. No entanto, as soluções encontradas pelo CPLEX, em geral, podem ser consideradas melhores que as soluções encontradas pelo algoritmo genético.



**Figura 3.** Gráfico de convergência do algoritmo genético para a instância com 6 itens, 15 períodos e fator 1.0



**Figura 4.** Comparação dos tempos de execução do AG e do CPLEX para cada instância

N	T	F	Valor AG	Valor CPLEX	Tempo AG	Tempo CPLEX	Gap CPLEX	Gap RL	Gap AG
6	15	0.9	38049.7	31479.0	1.33	0.16	0	62%	17%
6	15	1.0	35152,6	31046.0	1.93	0.78	0	61%	11%
6	30	0.9	75987.0	66913.0	2.09	0.97	0	61%	12%
6	30	1.0	75618,9	66494.0	5.25	2.13	0	60%	12%
6	60	0.9	158582.0	136239.0	4.10	4.50	0	61%	14%
6	60	1.0	151529,8	133463.0	14.10	366.35	0	60%	12%
6	90	0.9	238480.0	206168.0	6.09	54.00	0	61%	14%
6	90	1.0	235347,9	203492.0	21.41	1801.18	0,34%	61%	13%
12	15	0.9	71434.0	57325.0	2.27	0.16	0	58%	20%
12	15	1.0	65483,7	56865.0	4.35	3.50	0	63%	13%
12	30	0.9	155473.0	128978.0	4.22	2.10	0	61%	17%
12	30	1.0	144816.0	129285.0	18.12	25.50	0	61%	11%
12	60	0.9	310151.0	264312.0	8.34	8.83	0	60%	15%
12	60	1.0	308864.2	267413.0	54.13	1800.01	0,05%	60%	13%
12	90	0.9	478580.0	403929.0	15.99	1.0.66	0	61%	16%
12	90	1.0	475496,7	407403.0	83.35	1800.01	0,02%	60%	14%
24	15	0.9	144705,8	117042.0	6.29	0.38	0	58%	19%
24	15	1.0	140838,8	116706.0	12.64	0.41	0	59%	17%
24	30	0.9	307752.0	257045.0	12.09	0.76	0	60%	16%
24	30	1.0	295638.1	256205.0	55.51	173.46	0	59%	13%
24	60	0.9	624407.0	530046.0	23.74	7.00	0	59%	15%
24	60	1.0	628995.3	541554.0	151.06	1802.44	0,01%	60%	14%
24	90	0.9	961230.0	808864.0	35.20	1.0.83	0	61%	16%
24	90	1.0	935312.2	810103.0	210.19	1802.49	0,03%	60%	13%
48	15	0.9	292869.0	232134.0	15.15	0.60	0	60%	20%
48	15	1.0	278649,8	231654.0	65.25	4.75	0	60%	17%
48	30	0.9	628585.0	520055.0	29.79	1.22	0	60%	17%
48	30	1.0	593767,9	507526.0	216.19	217.17	0	60%	14%
48	60	0.9	1244645.0	1.054600.0	59.85	3.50	0	60%	15%
48	60	1.0	1242838.2	1.066552.0	678.57	65.64	0	60%	14%
48	90	0.9	1907492.0	1616532.0	88.41	6.20	0	60%	15%
48	90	1.0	1886558,7	1628269.0	1095.21	37.64	0	60%	14%

**Tabela 1.** Comparação entre os resultados obtidos, os tempos de execução (em segundos) e os *gaps* utilizando o CPLEX e o algoritmo genético

## 6 Conclusão

A partir do que foi analisado na seção anterior, o algoritmo genético desenvolvido para o problema se mostrou eficiente, em relação ao tempo de execução do CPLEX, quando testado em instâncias grandes, uma vez que o seu tempo de execução foi significativamente menor que o tempo de execução do CPLEX. No entanto, com relação a solução encontrada, o algoritmo genético gerou soluções que são no mínimo 11% piores que as soluções encontradas pelo CPLEX, mesmo que esse tenha um tempo de execução muito maior em alguns momentos. Portanto, é possível concluir que o algoritmo genético proposto não foi mais eficiente que o CPLEX em encontrar a solução ótima para o Problema de Dimensionamento de Lotes.

Faz-se necessário ressaltar a relevância desse estudo com relação a representação da solução em formato de ordem de produção dos itens em cada período, que foi baseada na representação de outros problemas, mas pode ser uma forma pioneira para o Problema de Dimensionamento de Lotes tratado neste artigo. Visto os resultados que foram obtidos, essa nova representação se mostrou eficiente e também promissora, já que é possível aprimorar esse estudo inicial procurando melhorar os resultados.

Como trabalhos futuros, novos operadores para o algoritmo genético serão desenvolvidos de forma a verificar se algum se adapta melhor ao PDLC. Além disso, novos testes serão realizados em outros tipos de instâncias, tanto geradas aleatoriamente quanto em instâncias reais.

## Referências

1. Davis, L.: Applying adaptive algorithms to epistatic domains. In: IJCAI. vol. 85, pp. 162–164 (1985)
2. Goren, H.G., Tunali, S., Jans, R.: A review of applications of genetic algorithms in lot sizing. *Journal of Intelligent Manufacturing* 21(4), 575–590 (2010)
3. Haase, K., Kohlmorgen, U.: Parallel genetic algorithm for the capacitated lot-sizing problem. In: *Operations Research Proceedings 1995*, pp. 370–375. Springer (1996)
4. Hajipour, V., Fattahi, P., Nobari, A.: A hybrid ant colony optimization algorithm to optimize capacitated lot-sizing problem. *Journal of Industrial and Systems Engineering* 7(1), 1–20 (2014)
5. Holland, J.H.: *Adaptation in natural and artificial systems: an introductory analysis with applications to biology, control, and artificial intelligence*. MIT press (1992)
6. IBM: *IBM ILOG CPLEX Optimization Studio CPLEX User's Manual*
7. Karimi, B., Ghomi, S.F., Wilson, J.: The capacitated lot sizing problem: a review of models and algorithms. *Omega* 31(5), 365–378 (2003)
8. Lustosa, L.J., de Mesquita, M.A., Oliveira, R.J.: *Planejamento e controle da produção*. Elsevier Brasil (2008)
9. Rocha Junior, W.R.d.: *Programação de pedidos e dimensionamento de lotes em uma indústria de móveis* (2016)
10. Trigeiro, W.W., Thomas, L.J., McClain, J.O.: Capacitated lot sizing with setup times. *Management science* 35(3), 353–366 (1989)